

地球温暖化対策の政策オプションに関する研究

九州大学工学部 学生員○松本 亨 学生員 田川 晋作
同 上 正員 井村 秀文 正員 楠田 哲也

1. はじめに

現在、大気中の温室効果ガスの増加が観測され、今後その傾向は一層加速されるものと予測されている。温室効果ガスの中で一番ウエートが高いのは CO_2 で、現在の温室効果の半分以上はこれに起因すると言われている（今後は CH_4 , N_2O 等の寄与が増大すると予測されている）。現在の CO_2 放出量は、化石燃料から 5.5GtC、森林減少から 0.4~2.6GtC と推定されており、将来予測される地球平均気温上昇を 3°C 程度以内に抑え、「安定化」させるには、化石燃料使用量を現在より 50% もカットしなければならないとの議論もある。

地球温暖化対策を考えるとき、経済成長・エネルギー問題と切り離すことはできない。全世界の化石燃料の消費量を見ると、1955~75年の間、年率 4.4% の上昇を示したが、1975~87年でみると、年率 2.7% に減少している。経済の発展段階別にみると、OECD 諸国が增加率が 1975~87 年の期間において、年平均 0.8% のに対し、発展途上国は 6.4% で、1975 年の約 2 倍の消費量となっている。このように、地球温暖化問題の解決と南北問題が複雑に絡んでいる。

1989 年オランダのノールドベイクで行われた大気汚染及び気候変動に関する会議で、 CO_2 排出安定化の国際的合意に達したが、その数量的レベルと時期、各國が実施すべき具体的な対策は今後の課題となっている。21世紀に本格化すると予測される温暖化は、今後の人類社会の経済的、技術的成長の構造及び経路に強く依存しており、政策の選択によってその帰結は大きく異なってくる。

本研究は、以上のような認識に基づき、地球を一つのシステムとして捉え、システム・ダイナミクスによって、政策導入の及ぼす効果をマクロ的に分析し、温暖化対策の望ましい政策オプションを探ることを目的とするものである。

2. モデル作成に用いたアプローチ

図 1 にモデルの分析フレームを示す。本モデルでは、環境、資源制約条件から、地球上で生産、消費できるエネルギー量を政策的に決定するものと考え、これを外生的に与えるアプローチをとった。分析の零次近似として、複雑なシステムを単純化し、以下の四要素について、それに対応するシステム変数を定めて、変数間の依存関係を記述した。

① 将来のエネルギー生産…各々 Logistic 型成長曲線として次式で外生的に与える。

$$\text{化石燃料} : E_x(t) = \frac{E_{x\infty}}{1 + \left(\frac{E_{x\infty} - E_{x0}}{E_{x0}}\right) \exp(-r_x(t-t_0))} \quad (1)$$

$$\text{原子力} : E_a(t) = \frac{E_{a\infty}}{1 + \left(\frac{E_{a\infty} - E_{a0}}{E_{a0}}\right) \exp(-r_a(t-t_0))} \quad (2)$$

$$\text{自然エネルギー} : E_n(t) = \frac{E_{n\infty}}{1 + \left(\frac{E_{n\infty} - E_{n0}}{E_{n0}}\right) \exp(-r_n(t-t_0))} \quad (3)$$

$$\text{全エネルギー生産} : E_t(t) = E_x(t) + E_a(t) + E_n(t) \quad (4)$$

② 人口、労働力

$$\text{人口成長率} : \frac{N}{N} = \frac{r_o}{\left(\frac{y}{y_0}\right)} = \left(\frac{F}{fN} - 1\right)^{\alpha} \quad (5)$$

$$\text{平均寿命} : h(y) = \frac{h_\infty}{1 + \left(\frac{h_\infty - h_0}{h_0}\right) \exp(-\zeta(y-y_0))} \quad (6)$$

$$\text{労働力 (生産可能人口)} : L = \frac{h_w}{h(y)} N \quad (7)$$

③ 経済成長

GDP に関し、生産要素として労働力とエネルギーの 2 つを考え、技術進歩を考慮した Cobb-Douglas 型の生産関数を仮定する。

$$Y = Y_0 \left(\frac{L}{L_0}\right)^\alpha \left(\frac{E_t}{E_{t0}}\right)^\beta e^{rt} \quad (8)$$

ただし、 $\alpha + \beta = 1$

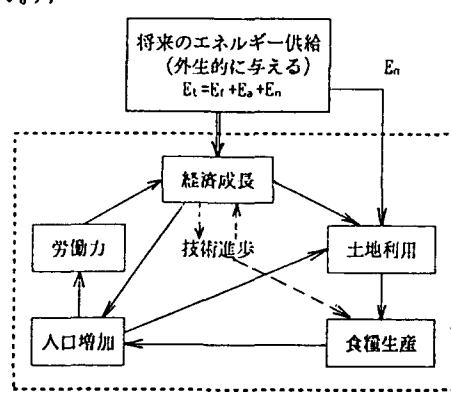


図 1 本モデルの構造

④ 土地利用と食糧

(a) 土地利用…世界全体の利用可能面積を、生活用、産業用、食糧生産用（耕地）、及び自然エネルギー（バイオマス等）生産用に区分する。

$$\text{利用可能面積} : \frac{S_t}{S_{t_0}} = \sigma \frac{N}{N_0} \left(1 - \frac{S_t}{S_{t_{\infty}}} \right) \quad (9)$$

生活用地面積: $S_c = \sigma_c(y) \cdot N$

$$\sigma_c(y) = \frac{\sigma_{c\infty}}{1 + \left(\frac{\sigma_{c\infty} - \sigma_{c0}}{\sigma_{c0}} \right) \exp(-\eta_c(y - y_0))} \quad (10)$$

産業用地面積: $S_i = \sigma_i(y) \cdot Y$

$$\sigma_i(y) = \frac{\sigma_{i\infty}}{1 + \left(\frac{\sigma_{i\infty} - \sigma_{i0}}{\sigma_{i0}} \right) \exp(-\eta_i(y - y_0))} \quad (11)$$

自然エネルギー生産用地面積: $S_n = \sigma_n \cdot E_n$

食糧生産用地面積: $S_a = S_t - (S_c + S_i + S_n)$

(b) 食糧生産量: $F = \phi_x \cdot S_a \cdot \exp(\xi_x t)$

(10) ただし

f : 1人当たり必要食糧摂取量

y : 1人当たりのGNP

h : 生産可能年齢(60-20=40才とした)

γ : 生産の技術進歩率

ξ : 食糧生産の技術進歩率

σ_c : 1人当たり必要面積

σ_i : 単位GNP当り必要面積

σ_n : 単位自然エネルギー生産当り必要面積

ϕ : 単位面積当り食糧生産

$\Gamma_1, \Gamma_2, \Gamma_3, \Gamma_4, a, b, \zeta, \alpha, \beta, \sigma, \eta_c, \eta_i$: 定数

(14) 添字 ∞ : 限界値。添字 0 : 初期値

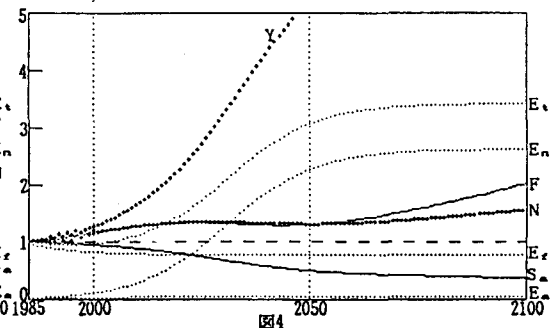
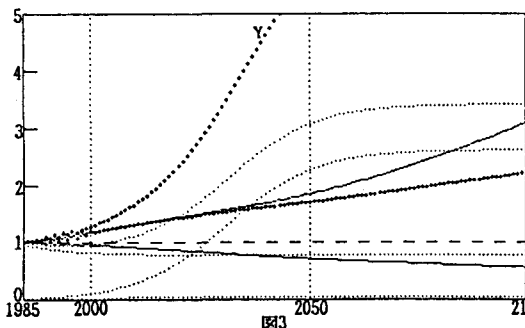
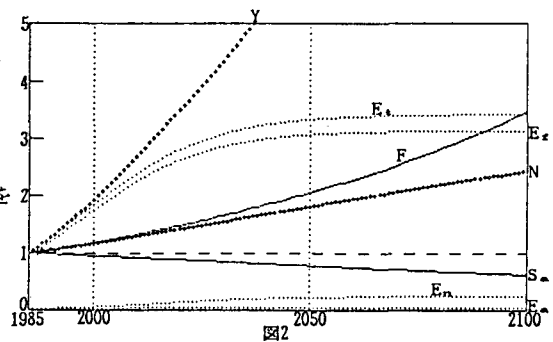
3. 試算例

本モデルによる試算例を図2～4に示す。1985年より2100年までの予測であり、1985年を1として指指数化して表している。（エネルギー生産量については、1985年の $E_t=1$ として、比率化している。）

図2は、1985年までのシステム内の関係に今後も大きな変化がないと仮定した標準型モデルである。

図3は、化石燃料を2050年までに20%削減のラインで安定化させ、それを自然エネルギーで補うと仮定した試算である。（他のパラメータの値は、図2に等しい。）

図4は、図3の仮定において、式(12)における σ_n を大きく見積った試算で、多少誇張されているが、これまでのエネルギー消費の増加を自然エネルギーで補おうとした場合に、食糧生産を圧迫することをよく表している図である。



4. 考察

現在のところ、データ不足のため仮の数値を入れている部分もあり、まだ値としては不確定な要素も多く残されているが、システム構成要素間の相互依存関係、パラメータ値による予測の感度特性は把握できた。

今後、正確なデータの入手を図り、システムの構成方程式を更に精密化し、分析フレームの拡大も含めて、モデル全体を改良していきたい。また、世界を南北あるいは地域に分割して、その相互依存関係も取り入れたい。